

ИЗВЕСТИЯ ВЫСШИХ УЧЕБНЫХ ЗАВЕДЕНИЙ
ГЕОЛОГИЯ И РАЗВЕДКА
2017, № 2

МИНЕРАЛОГИЯ, ПЕТРОГРАФИЯ, ЛИТОЛОГИЯ

УДК 551.24+.25+.22+.21/552.11(477.9)

**ОСТРОВОДУЖНЫЕ ФЕРРОКОРДИЕРИТ-АЛЬМАНДИНОВЫЕ
ПЛАГИОРИОЛИТЫ ГОРЫ КАСТЕЛЬ, ГОРНЫЙ КРЫМ**

Э.М. СПИРИДОНОВ

*Mосковский государственный университет
119991, Россия, г. Москва, МГУ, Воробьевы горы, 1; e-mail: ernstspiridon@gmail.com*

Дайковые плахиориолиты допозднеюрского возраста содержат реститовый гранат (ситовидные срастания спессартин-альмандин и кварца) и феррокордиерит. Гранаты таких облика и состава и с подобной зональностью — от центра к краям растёт содержание Mg и снижается содержание Mn, типичны для железистых метапелитов амфиболитовой фации. Состав пород, при палингенезе которых возник расплав плахиориолитов горы Кастель, вероятно, отвечал кордиерит-альмандиновым плахиогнейсам. Оценка параметров формирования этих метаморфических пород по составу граната и кордиерита 550° С и 4 кбар, т. е. это метаморфиты амфиболитовой фации умеренного давления. Высказано предположение, что Горно-Крымская тектоническая зона, возможно, была заложена на древнем кристаллическом фундаменте, на зрелой континентальной коре, вероятном продолжении на юг структур Русской платформы. Впервые в Крыму описан феррокордиерит — секанинит. Часть граната и кордиерита замещены высокожелезистым хлоритом (дафнит) и пумпеллиитом-(Fe), часть биотита, титаномагнетита и ильменита — хлоритом, эпидотом, пумпеллиитом-(Fe) и минералом, промежуточным по составу между титанитом и вуюннатитом. Итак, плахиориолиты подверглись метаморфизму в условиях пренит-пумпеллиитовой фации.

Ключевые слова: реститовые альмандин и феррокордиерит; хлорит — дафнит; пумпеллиит-(Fe); титанит — вуюннатит; палингенез; фундамент складчатой области Горного Крыма.

**THE ISLAND ARC FERROCORDIERITE-ALMANDINE PLAGIORHYOLITES
OF THE MOUNT KASTEL, MOUNTAIN CRIMEA**

E.M. SPIRIDONOV

*Lomonosov Moscow State University
119991, Russia, Moscow, GSP-1, Leninskie Gory, 1; e-mail: ernstspiridon@gmail.com*

Plagio rhyolites of the Pre-Late Jurassic dyke contain restitegarnet (cibrate intergrowths of almandine-spessartine and quartz) and ferrocordierite. The garnets of such habit and composition and with such kind of zonality — the content of Mg increases and the content of Mn decreases from the center to the edges — are typical for ferriferous metapelites of amphibolite facies. Composition of the rocks, during palingenesis of which the melt of plagioryholites of the Mount Kastel formed, probably corresponded to the cordierite-almandine plagiogneisses. An assessment of the parameters of these metamorphic rocks forming according garnet and cordierite compositions is 550° C and 4 kbar, so they are metamorphic rocks of the amphibolite facies of moderate pressure. There is an assumption, that Mountain Crimean tectonic zone was possibly formed on the ancient crystalline basement, on the mature continental crust, possible continuation of the structures of Russian Platform to the south. Ferro cordierite — sekaniite has been described in Crimea for the first time. A part of garnet and cordierite was replaced by highly ferriferous chlorite (daphnite) and pumpellyite-(Fe), a part of biotite, titanomagnetite and ilmenite — by chlorite, epidote, pumpellyite-(Fe) and mineral with intermediate composition between titanite and vuagnatite. The reby, plagioryholites were subjected by metamorphism of prehnite-pumpellyite facies.

Ключевые слова: реститовый гранат — альмандин и феррокордиерит — секанинит; хлорит — дафнит; пумпеллиит-(Fe); титанит — вуюннатит; палингенез; фундамент складчатой области Горного Крыма.

Горный Крым — часть грандиозного Альпийско-Гималайского складчатого пояса [13]. Горный Крым представляет собой мезозойское (киммерийское) покровно-складчатое сооружение, состоящее из двух структурных зон — северной — Лозовской зоны смятия и южной — Горно-Крымской тектонической зоны [2, 5, 7]. Существуют различные представления о типе фундамента складчатой области Горного Крыма. Лучший знаток геологии Крыма — Михаил Владимирович Муратов полагал, что под мезозойскими складчатыми сооружениями Горного Крыма продолжаются структуры выделенной им в северной части Крыма эпигерцинской Скифской плиты [7]. Некоторые геологи допускали наличие коры океанического типа [10, 14]. Определённый интерес для решения данной проблемы могут представлять результаты изучения гранатовых плагиориолитов дайки на южном склоне горы Кастель в окрестностях Алушты. В Крыму

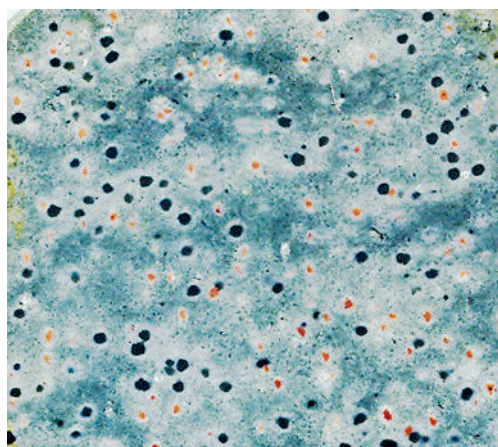


Рис. 1. Плагиориолиты горы Кастель с вкраплениями розово-красного граната; часть граната и почти весь кордиерит замещены железистым хлоритом (тёмно-зелёные пятна). 47 45 мм; коллекция Ю.А. Полканова, фото Э.М. Спириданова



Рис. 2. Плагиориолиты горы Кастель с вкраплениями розово-красного граната и бурого ферро-кордиерита; коллекция геологического музея Крымского полигона МГУ, обр. № Ю-411. 52 43 мм, фото Э.М. Спириданова

эти своеобразные породы (рис. 1, 2) получили название «форелевый камень» [9].

Магматические образования Горного Крыма

Магматические образования развиты в Горном Крыму относительно нешироко, слагая значительное менее 10 % объёма складчатого комплекса [4]. Горный Крым — складчатая область с редуцированной историей геологического развития. Типичные образования океанической стадии развития складчатых областей — офиолитовая формация и её наиболее яркие представители — альпинотипные гипербазиты (дунит-гарцбургитовый комплекс) мезозойского возраста в Крыму достоверно не установлены. Малые тела апогипербазитовых антигоритовых серпентинитов вскрыты в скважине Р-1 в районе г. Симферополь под мезозойскими отложениями [14]. Уровень метаморфизма данных серпентинитов отвечает фации зелёных сланцев. Условия метаморфизма мезозойских осадочных и вулканических толщ и интрузивных образований Крыма отвечают цеолитовой и низкотемпературной части пренит-пумпеллитовой фаций [11]. Судя по степени метаморфизма вскрытых скважиной Р-1 антигоритовых серпентинитов, это фрагменты домезозойских офиолитов. Мелкие тела интрузивных пикритов и ассоциирующих оливиновых габброидов под Балаклавой, выявленные В.И. Лысенко (филиал МГУ в Севастополе) более 15 лет назад, ошибочно отнесены к офиолитовой формации [10]. Аналогичные породы ранее были вскрыты в ряде глубоких скважин в районе Симферополя и описаны В.В. Плошко как ассоциация пикритов и кварцевых диабазов [8]. По геологическим соотношениям, составу горных пород и минералов (оливин — железистый хризолит — гиалосидерит, хромшпинелиды, обогащённые Ti и Zn) это — образования островодужной пикрит-габбро-норит-долеритовой формации — Первомайско-Аюдагского интрузивного комплекса [12]. Таким образом, наличие в Горном Крыму мезозойской офиолитовой формации и представление об океанической природе фундамента складчатой области Горного Крыма реально не доказаны.

Значительную часть складчатого комплекса Горного Крыма слагают образования островодужной стадии — толщи среднетриасового — раннеюрского возраста шельфовой глинисто-терригенной эскиордынской серии и более глубоководной флишевой таврической серии, сложно дислоцированные, местами филлитизированные. Они несогласно перекрыты конгломерато-песчано-глинистыми, зачастую угленосными, отложениями среднеюрского возраста, которые заметно дислоцированы. Терригенные толщи пересечены и контактово метаморфизованы небольшого размера plutonами раннебайосских кварцевых габбро-норит-до-

леритов и кварцевых габбро-норит-диоритов до пикритовых габбро-долеритов и пикритов, с одной стороны, и до кварцевых диоритов, плагиогранитов и гранофирировых гранитов — с другой. Это первомайско-аюдагский интрузивный комплекс, который выделили Э.М. Спиридонов и Т.О. Фёдоров [12], наиболее древние из среднеюрских магматических образований Горного Крыма. Они прорваны жерловинами лавовых брекчий базальтов и дайками базальтов и андезитов позднебайосской бодракско-карадагской вулканической серии. К первомайско-аюдагскому комплексу принадлежит большая часть интрузивных образований Горного Крыма. Эти интрузивы внедрялись механически активно, дополнительно сминая, раздвигая и пронизывая дислоцированные толщи рамы интрузивов. Можно полагать, что внедрение мантийных базитовых магм данного комплекса сопровождало и завершило процесс раннебайосской складчатости.

В позднем байоссе на юге Горного Крыма возникла вулканическая островная дуга, в значительной части субмаринная. Цепочка вулканических массивов бодракско-карадагской серии и субвулканических тел бодракско-карадагского комплекса протягивается от Балаклавы — Севастополя на западе до Карадага на востоке [3, 4, 7, 12]. Вулканиты имеют типичные островодужные характеристики, что впервые показано в [12] и подтверждено новейшими исследованиеми [18]. Вулканиты позднего байосса запада Крыма наименее щелочные, по составу близки к толеитовым, среди них минимальна доля кремнекислых пород. Вероятно, они возникли во внешней «приokeанической» зоне островной дуги. Вулканиты востока Крыма — Карадага наиболее щелочные по составу, среди них немало шошонитов — латитов, повышена доля кремнекислых пород [3]. Вероятно, они возникли в тыловой, «приконтинентальной» зоне вулканической островной дуги [12]. С вулканитами карадагской серии связаны проявления колчеданного оруденения.

Одно из наиболее интересных магматических образований Горного Крыма — дайка гранатовых плагиориолитов горы Кастель [4, 9]. Дайка сечёт интенсивно дислоцированную толщу флиша таврической серии. Эти плагиориолиты в заметной степени захвачены эпигенетичным низкоградным метаморфизмом пренит-пумпеллиитовой фации. Возраст этого метаморфизма отвечает началу поздней юры [11]. Поэтому вероятный возраст плагиориолитов — конец средней юры. Это одно из своеобразных островодужных магматических образований Горного Крыма.

Островодужный этап развития Горного Крыма завершили покровно-складчатые дислокации примерно на границе средней и поздней юры [5], которые сопровождались внедрением мелких интрузивов плагиогранитоидов и даек гранитоид-порфиров [12].

Более молодые, послеостроводужные, субсеквентные вулканиты мелового балаклавского базальт-андезит-дацит-риолитового комплекса развиты на западе Горного Крыма. С балаклавским вулканическим комплексом связаны зоны аргиллизации и кварцево-жильные проявления с пиритом, сфалеритом, самородным золотом и антимонитом.

Материалы и методы исследования

Изучены образцы форелевого камня, полученные от Ю.А. Полканова (Симферополь) (рис. 1) и от Л.Ф. Копаевич из коллекции музея Крымского полигона МГУ (образец № Ю-411) (рис. 2). Образцы исследованы микроскопически и с помощью электронного микрозонда. Фотографии в режиме электронного микроскопа и химический анализ минералов выполнила Н.Н. Коротаева с помощью аналитического комплекса с комбинированной системой микроанализа на базе СЭМ Jeol JSM-6480 LV (лаборатория локальных методов исследований кафедры петрологии геологического факультета МГУ).

Гранатовые плагиориолиты горы Кастель

Плагиориолиты — светлосерые фельзитовые породы с мелкими вкрапленниками плагиоклаза и кварца, с относительно редкими вкраплениями до 2 мм розовато-красного граната (рис. 1, 2). Участки пород, в заметной степени метаморфизованные, окрашены в зеленоватый цвет, часть граната в них замещена тёмно-зелёным железистым хлоритом (рис. 1). Валовый химический состав пород дайки, мас. %: SiO_2 75,06; P_2O_5 0,07; TiO_2 0,10; Al_2O_3 14,15; FeO 1,59; MnO 0,26; MgO 0,11; CaO 2,43; Na_2O 4,86; K_2O 1,15; ппп 0,35; сумма 100,22 %. По составу — это типичные островодужные плагиориолиты, обогащённые глинозёмом, высоко железистые и высоко кальциевые, с резким преобладанием натрия над калием.

Породы слагают вкрапленники — таблицы плагиоклаза и округлые кристаллы кварца и связующая масса из микролитов плагиоклаза, мелких и мельчайших выделений кварца, биотита, титаномагнетита, апатита, ильменита. Размер вкрапленников плагиоклаза до 3 мм. Центральные зоны вкрапленников сложены низко калиевым высоко кальциевым андезином состава $\text{Ca}_{48,3-41,3}\text{Na}_{51,2-58,1}\text{K}_{0,4-0,6}$ ($n = 6$). Внешние зоны — каймы вкрапленников сложены натровым андезином состава $\text{Ca}_{39,6-38,3}\text{Na}_{58,4-59,5}\text{K}_{2,0-2,2}$ ($n = 4$). Микролиты цементирующей массы слагает олигоклаз, изредка калиевый олигоклаз состава $\text{Ca}_{19,3}\text{Na}_{69,8}\text{K}_{10,9}$. Размер редких вкрапленников кварца округлой формы до 2 мм. В связующей массе немало мелких выделений титаномагнетита, который испытал окисли-

тельный отжиг и превращён в агрегат магнетита (матрица) с массой тонких пластинчатых ламелей ильменита. Валовый состав титаномагнетита, мас. %: TiO_2 6,22; Fe_2O_3 48,58; Al_2O_3 6,65; V_2O_3 0,08; FeO 35,97; MnO 1,30; ZnO 0,18; MgO 0,20; сумма 99,18 %. Cr, Ni — не обнаружены; содержания Fe_2O_3 и FeO рассчитаны по стехиометрии. Особенность титаномагнетита — крайне низкие содержания ванадия, что исключает даже небольшое участие расплава базитового состава. Состав титаномагнетита плагиориолитов горы Кастель в миналах, мол. %: шпинель MgAl_2O_4 1,1; герцинит FeAl_2O_4 13,0; ганит ZnAl_2O_4 0,5; кулсонит FeV_2O_4 0,2; ульвошинель Fe_2TiO_4 17,4; магнетит FeFe_2O_4 63,7; якобсит MnFe_2O_4 4,1.

Вкрапления макроскопически розово-красного граната размером от нескольких долей до 1,5 мм, придающие камню сходство со спинкой форели, под микроскопом выглядят как амёбовидные неправильной формы ситовидные кварц — гранатовые срастания (рис. 3, 4). Структура этих срастаний гранобластовая, количество граната и кварца в них примерно равны. Такую форму и структуру нередко имеют порфиробласти граната в бедных калием метапелитах [1, 6, 16]. Гранат описываемых срастаний по составу однотипно плавно зональный (табл. 1, 2). В центре срастаний — это спессартин-альмандин с 66—68 % минала альмандина $\text{Fe}_3\text{Al}_2\text{Si}_3\text{O}_{12}$, 24—26 % минала спессартина $\text{Mn}_3\text{Al}_2\text{Si}_3\text{O}_{12}$, 4—5 % минала пиропа $\text{Mg}_3\text{Al}_2\text{Si}_3\text{O}_{12}$. К внешней части срастаний содержание марганца (минала спессартина) в гранате плавно снижается, а содержание магния (минала пиропа) плавно растёт. Гранат внешней части срастаний — это Mn — Mg альмандин с 75—77 % минала альмандина, 8—10 % спессартина, 9—11 % пиропа (табл. 1, 2). Гранаты таких облика (порфиробласти), состава и с такой зональностью типичны для железистых метапелитов амфиболитовой фации [1, 6, 17, 19, 21, 22]. Итак, ситовидные кварц-гранатовые срастания в плагиориолитах горы Кастель — не вкрапленники, а реститы, тугоплавкие остатки от плавления протолита.

В кварц-гранатовых срастаниях присутствует небольшое количество мелких короткопризматических кристаллов гидроксилторапатита (рис. 4). Его состав, мас. %: CaO 51,28 и 47,46; Na_2O 0,31 и 0,36; MnO 2,16 и 3,13; FeO 1,67 и 3,95; Y_2O_3 0,26 и 0,30; Ce_2O_3 0,28 и 0,32; Nd_2O_3 0,25 и 0,39; P_2O_5 41,59 и 41,31; SiO_2 0,39 и 0,34; F 2,92 и 2,38; сумма — O = F₂ 99,88 и 98,95; формулы — $(\text{Ca}_{4,64}\text{Mn}_{0,15}\text{Fe}_{0,12}\text{Na}_{0,05}\text{Y}_{0,01}\text{Ce}_{0,01}\text{Nd}_{0,01})_{4,99}[(\text{PO}_4)_{2,98}(\text{SiO}_4)_{0,03}]_{3,01}(\text{F}_{0,78}\text{OH}_{0,22})_1$ и $(\text{Ca}_{4,36}\text{Fe}_{0,28}\text{Mn}_{0,23}\text{Na}_{0,06}\text{Y}_{0,01}\text{Ce}_{0,01}\text{Nd}_{0,01})_{4,96}[(\text{PO}_4)_3(\text{SiO}_4)_{0,03}]_{3,03}(\text{F}_{0,65}\text{OH}_{0,35})_1$. Таким образом, апатит в ассоциации со спессартин-альмандиновым гранатом весьма богат марганцем и железом, содержит около 1 % суммы лантанидов и иттрия; некоторая часть групп PO₄ замещена SiO₄.

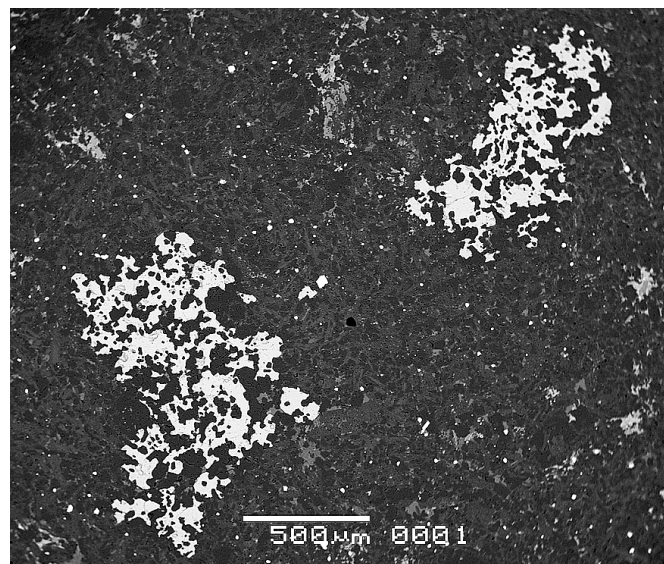


Рис. 3. Неправильной формы реститовые порфиробласти — ситовидные срастания спессартин-альмандинового граната (белый) (левый — табл. 1, ан. 1-5) и кварца (чёрный) в тонкокристаллической матрице плагиориолитов; фото в отражённых электронах

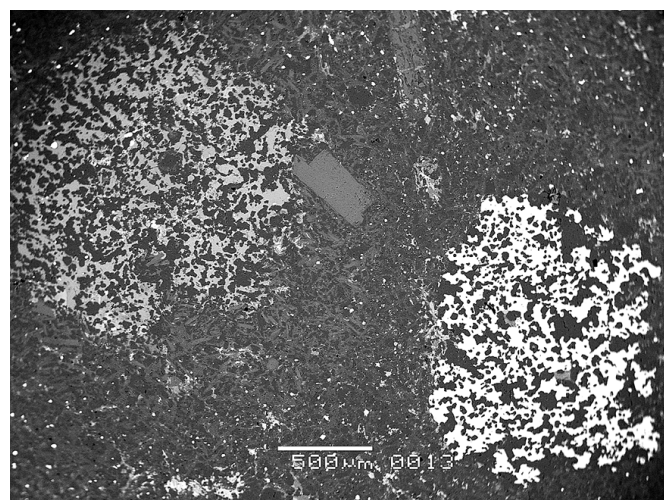


Рис. 4. Амёбовидной формы реститовые порфиробласти — ситовидные срастания спессартин-альмандинового граната (белый) (табл. 2, ан. 6—9) и кварца (чёрный) в тонкокристаллической матрице плагиориолитов; левый порфиробласт граната замещён железистым хлоритом — дафнитом; на фоне кварца и хлорита заметны мелкие короткопризматические кристаллы апатита (белые); фото в отражённых электронах

Вкрапления макроскопически бурого кордиерита размером 0,5—3, обычно 1,5—2,5 мм расположены в плагиориолитах неравномерно, в одних участках с попечником до 30—50 мм их почти нет, в других примерно того же размера их содержание около 3 %, в отдельных линзовидных участках размером до 70—30 мм их содержание достигает 5—7 %. Под микроскопом они представляют собой реликты кордиерита в агрегатных срастаниях железистого хлорита и железистого пумпеллиита. По составу кордиерит высокожелезистый, его состав

МИНЕРАЛОГИЯ, ПЕТРОГРАФИЯ, ЛИТОЛОГИЯ

Таблица 1

**Химический состав реститового альмандина (мас. %), реликтовый кварц-гранатовый порфиробласт 1,
дайка плагиорилитов горы Кастель**

Компоненты	1 (центр)	2 (промежуточная зона)	3 (пром. зона)	4 (промежуточная зона)	5 (край)
SiO ₂	35,11	35,41	36,22	36,48	36,22
TiO ₂	0,17	0,22	0,18	0,14	0,17
Al ₂ O ₃	19,91	20,19	20,53	20,65	20,63
Fe ₂ O ₃	2,54	2,62	1,49	0,90	1,27
FeO	28,10	30,05	33,39	33,71	33,33
MnO	10,97	9,21	5,89	4,82	4,35
MgO	1,21	1,26	1,86	2,6	2,78
CaO	0,61	0,70	0,59	0,60	0,61
Сумма	98,62	99,66	100,15	99,76	99,36
Число атомов в формуле в расчете на 8 атомов металлов					
Fe ²⁺	1,961	2,076	2,280	2,297	2,276
Mn	0,775	0,644	0,407	0,332	0,300
Mg	0,150	0,155	0,226	0,299	0,339
Ca	0,055	0,062	0,052	0,052	0,053
Fe ³⁺	0,049	0,063	0,035	0,020	0,032
Al ^{VI}	1,888	1,887	1,933	1,956	1,944
Fe ³⁺	0,101	0,099	0,056	0,035	0,046
Ti	0,011	0,014	0,011	0,009	0,010
Si	2,930	2,923	2,958	2,973	2,958
Al ^{IV}	0,070	0,077	0,042	0,027	0,042
Содержания миналов, мол. %					
Спессартин	26	21	14	11	10
Пироп	5	5	8	10	11
Альмандин	64	68	76	77	76
Андродит и иные	5	6	2	2	3

Примечание. Электронный микрозонд Camscan, аналитик Н.Н. Коротаева, количества FeO и Fe₂O₃ рассчитаны по стехиометрии.

Таблица 2

**Химический состав реститового альмандина (мас. %), реликтовый кварц-гранатовый порфиробласт 2,
дайка плагиорилитов горы Кастель**

Компоненты	6 (центр)	7 (пром. зона)	8 (пром. зона)	9 (край)
SiO ₂	35,46	35,87	35,75	36,41
TiO ₂	0,28	0,18	0,18	0,28
Al ₂ O ₃	20,53	20,50	20,32	19,88
Fe ₂ O ₃	2,95	2,24	1,93	1,30
FeO	29,77	32,29	32,27	32,92
MnO	9,38	6,87	6,62	5,38
MgO	1,47	1,72	1,78	2,58
CaO	0,59	0,58	0,59	0,61
Сумма	100,44	100,15	99,44	99,36
Число атомов в формуле в расчете на 8 атомов металлов				
Fe ²⁺	2,038	2,207	2,221	2,257
Mn	0,650	0,475	0,462	0,373
Mg	0,179	0,210	0,219	0,315
Ca	0,052	0,051	0,052	0,054
Fe ³⁺	0,081	0,057	0,046	0,001
Al ^{VI}	1,882	1,907	1,915	1,906
Fe ³⁺	0,101	0,082	0,074	0,080
Ti	0,017	0,011	0,011	0,014
Si	2,902	2,932	2,943	2,985
Al ^{IV}	0,098	0,068	0,057	0,015
Содержания миналов, мол. %				
Спессартин	22	17	16	12
Пироп	6	7	7	11
Альмандин	68	74	75	75
Андродит и иные	4	2	2	2

Примечание. Электронный микрозонд Camscan, аналитик Н.Н. Коротаева, количества FeO и Fe₂O₃ рассчитаны по стехиометрии.

Химический состав (мас. %) рестиитового феррокордиерита — секанинита (дайка плахиориолитов горы Кастель)

Компоненты	10	11	Число атомов в формуле в расчете на 11 атомов металлов	10	11
SiO ₂	46,78	47,03	Fe ²⁺	1,124	1,012
TiO ₂	следы	следы	Mn	0,054	0,082
Al ₂ O ₃	32,11	32,17	Mg	0,624	0,642
Fe ₂ O ₃	2,11	2,82	Fe ³⁺	0,121	0,155
FeO	12,70	11,52	Ca	0,007	0,013
MnO	0,60	0,92	Na	0,070	0,096
MgO	3,96	4,10	Al VI	2,953	2,924
CaO	0,06	0,12	Fe ³⁺	0,047	0,076
Na ₂ O	0,34	0,47	Si	4,949	4,941
сумма	98,66	99,25	Al IV	1,051	1,059

Примечание. Электронный микрозонд Camscan, аналитик Н.Н. Коротаева, количества FeO и Fe₂O₃ рассчитаны по стехиометрии.

отвечает формуле $(\text{Fe}^{2+})_{1,01-1,12}\text{Mg}_{0,62-0,64}\text{Fe}^{3+}_{0,11-0,16}\text{Mn}_{0,05-0,08}\text{Na}_{0,07-0,10}\text{Ca}_{0,01})_2(\text{Al}_{2,92-2,95}\text{Fe}^{3+}_{0,05-0,08})_3[(\text{Si}_{4,94-4,95}\text{Al}_{0,05-0,06})_6\text{O}_{18}]$, *f* общ. 67,5—68,5 (табл. 3). Феррокордиерит = секанинит, по [20], описан в Крыму впервые.

Помимо рестиитовых кварц-гранатовых срастаний и феррокордиерита, плахиориолиты содержат мелкие кристаллы рестиитового циркона со следами растворения на внешней стороне кристаллов и с лакунами внутри (рис. 5).

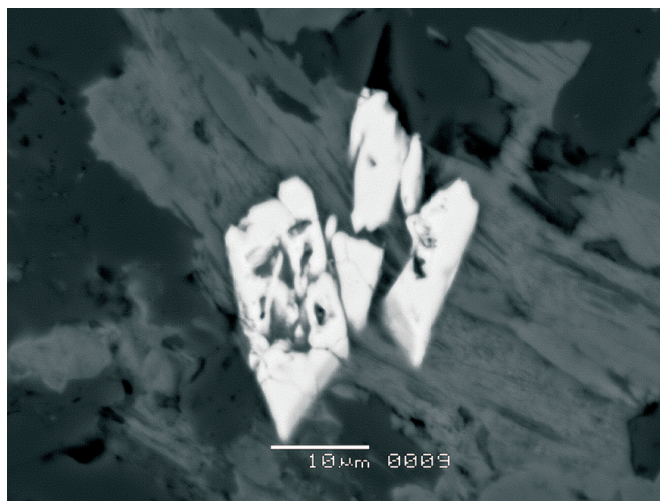


Рис. 5. Реликтовые рестиитовые кристаллы циркона (светлые), частично растворённые, с мелкими лакунами, обросшие биотитом; плахиориолиты горы Кастель; фото в отражённых электронах

Вероятный состав пород, при палингенезе которых возник расплав плахиориолитов горы Кастель с рестиитовыми кварц-гранатовыми срастаниями, феррокордиеритом и цирконом, возможно, отвечал кордиерит-альмандиновым плахиогнейсам. Оценка параметров формирования этих метаморфических пород по составу рестиитовых граната и кордиерита 550° С и 4 кбар [6, 15, 17, 19], т. е. это метаморфиты амфиболитовой фации умеренных давлений.

Продукты низкоградного метаморфизма плахиориолитов

Плахиориолиты Кастели слабо тектонизированы и весьма неоднородно захвачены эпигенетическим низкоградным метаморфизмом. В отдельных участках практически весь феррокордиерит и заметная часть граната замещены хлоритом и пумпеллиитом, биотит, титаномагнетит и ильменит — хлоритом, эпидотом, пумпеллиитом и минералом, промежуточным по составу между титанитом и юяньянитом. В других участках практически весь гранат свежий (рис. 3), в соседних — замещена часть граната (рис. 4). Столь неравномерная степень замещения — характерная черта низкотемпературного метаморфизма.

Из метаморфогенных минералов наиболее распространён хлорит. Хлорит, заменивший спессартин-альмандин, высоко железистый и содержит >1 % Mn, его состав, мас. %: SiO₂ 22,76 и 24,40; Al₂O₃ 19,41 и 18,84; FeO 37,78 и 39,73; MnO 1,03 и 1,63; MgO 4,76 и 4,81; ZnO 0,29 и следы; сумма 86,03 и 89,41; формулы — $(\text{Fe}^{2+})_{3,70}\text{Al}_{1,34}\text{Mg}_{0,83}\text{Mn}_{0,10}\text{Zn}_{0,02})_6[(\text{Si}_{2,66}\text{Al}_{1,34})_4\text{O}_{10}](\text{OH})_8$ и $(\text{Fe}^{2+})_{3,76}\text{Al}_{1,27}\text{Mg}_{0,81}\text{Mn}_{0,16})_6[(\text{Si}_{2,76}\text{Al}_{1,24})_4\text{O}_{10}](\text{OH})_8$, *f* = 81,2 и 82,8. По классификации М. Хея, это — редкий тип хлорита — дафнит. Хлорит, заменивший феррокордиерит, беднее марганцем, — мас. %: SiO₂ 23,35; Al₂O₃ 18,71; FeO 38,55; MnO 0,96; MgO 4,75; ZnO 0,22; сумма 86,54; формула — $(\text{Fe}^{2+})_{3,76}\text{Al}_{1,30}\text{Mg}_{0,83}\text{Mn}_{0,09}\text{Zn}_{0,02})_6[(\text{Si}_{2,73}\text{Al}_{1,27})_4\text{O}_{10}](\text{OH})_{8,97}\text{O}_{0,03}$, *f* = 82,3. По классификации М. Хея, это дафнит. Распространённый метаморфогенный минерал — пумпеллиит-(Fe), его состав, мас. %: SiO₂ 36,27 и 37,05; TiO₂ следы и 0,10; Al₂O₃ 23,42 и 24,06; FeO 8,68 и 9,60; MnO 0,10 и 0,26; MgO 1,10 и 0,84; CaO 22,20 и 21,75; Na₂O следы и 0,22; Y₂O₃ 0,22 и 0,18; сумма 91,99 и 94,06; формулы — $(\text{Ca}_{1,97}\text{Mn}_{0,01}\text{Y}_{0,01})_{1,99}(\text{Fe}^{2+})_{0,59}\text{Al}_{0,28}\text{Mg}_{0,14})_{1,01}\text{Al}_2[(\text{OH})_{0,71}\text{O}_{0,29})_1/\text{OH}/\text{H}_2\text{O}/\text{SiO}_4/\text{Si}_2\text{O}_7]$ и $(\text{Ca}_{1,89}\text{Na}_{0,03}\text{Mn}_{0,01}\text{Y}_{0,01})_{1,95}(\text{Fe}^{2+})_{0,64}\text{Al}_{0,30}\text{Mg}_{0,10})_{1,05}\text{Al}_2[(\text{OH})_{0,70}\text{O}_{0,30})_1/\text{OH}/\text{H}_2\text{O}/\text{SiO}_4/\text{Si}_2\text{O}_7]$, *f* = 81,7 и 86,8. Состав мета-

морфогенного эпидота, мас. %: SiO_2 37,49; Al_2O_3 23,25; Fe_2O_3 13,50; FeO 0,15; MnO 0,37; MgO следы; CaO 22,85; сумма 97,61; формула — $(\text{Ca}_{1,96}\text{Mn}_{0,03}\text{Fe}^{2+}_{0,01})_2(\text{Al}_{2,19}\text{Fe}^{3+}_{0,81})_3[\text{O}/\text{OH}/\text{SiO}_4/\text{Si}_2\text{O}_7]$. Состав метаморфогенного минерала, который микроскопически не отличим от титанита, мас. %: SiO_2 32,79; TiO_2 20,23; V_2O_3 0,28; Al_2O_3 13,63; FeO 2,49; MnO следы; MgO 0,16; CaO 27,97; Y_2O_3 0,36; сумма 97,82; формула $(\text{Ca}_{0,93}\text{Y}_{0,01})_{0,94}(\text{Al}_{0,50}\text{Ti}_{0,48}\text{Fe}^{2+}_{0,06}\text{V}_{0,01})_{1,05}[\text{Si}_{1,01}\text{O}_4/(\text{O}_{0,56}\text{OH}_{0,44})_1]$. Состав этого минерала промежуточный между титанитом $\text{CaTi}[\text{SiO}_4/\text{O}]$ и вюяньятитом $\text{CaAl}[\text{SiO}_4/\text{OH}]$ [20], с незначительным преобладанием минала вюяньтита. Минерал обнаружен в Крыму впервые.

Таким образом, плахиориолиты подверглись метаморфизму в условиях пренит-пумпеллиитовой фации.

Заключение

Одно из интереснейших островодужных магматических образований Горного Крыма — дайка плахиориолитов горы Кастель допозднеюрского возраста, секущая дислоцированную толщу флиша таврической серии T_2 — J_1 . Плахиориолиты Кастеля содержат вкрапления реститовых феррокордиерита и сивовидных срастаний спессартин-альмандина с кварцем. Гранаты такого облика и состава и с такой зональностью — от центра к краям в них

растёт содержание Mg и снижается содержание Mn — типичны для железистых метапелитов амфиболитовой фации. Состав пород, при палингнезе которых возник расплав плахиориолитов горы Кастель, вероятно, отвечал кордиерит-альмандиновым плахиогнейсам; оценка параметров их формирования по составу граната и кордиерита 550° С и 4 кбар.

В плахиориолитах горы Кастель часть граната и феррокордиерита замещены высоко железистыми хлоритом — дафнитом и пумпеллиитом, часть биотита, титаномагнетита и ильменита — хлоритом, эпидотом, пумпеллиитом-(Fe) и минералом, по составу промежуточным между титанитом и вюяньтитом. Таким образом, плахиориолиты подверглись метаморфизму в условиях пренит-пумпеллиитовой фации.

Фактические данные — реститовые гранат (спессартин-альмандин) и кордиерит амфиболитовой фации метаморфизма в юрских плахиориолитах горы Кастель — позволяют предположить, что основная структурная зона складчатой области Горного Крыма — Горно-Крымская могла быть заложена на древнем кристаллическом фундаменте, на зрелой континентальной коре, продолжении на юг структур Украинского щита Русской платформы.

Работа выполнена при финансовой поддержке РФФИ (грант 16-05-00241).

ЛИТЕРАТУРА

1. Авченко О.В. Петрогенетическая информативность гранатов метаморфических пород. М.: Наука, 1982. 103 с.
2. Геология СССР. Том VIII. Крым. Часть 1. Геологическое описание. М.: Недра, 1969. 576 с.
3. Левинсон-Лессинг Ф.Ю. Вулканическая группа Карадага в Крыму. Л.: Изд-во АН СССР, 1933. 150 с.
4. Лучицкий В.И. Петрография Крыма. Петрография СССР. Серия 1. Региональная петрография. Выпуск 8. М.-Л.: Изд-во АН СССР, 1939. 98 с.
5. Милеев В.С., Барабошкин Е.Ю., Розанов С.Б., Рогов М.А. Тектоника и геодинамическая эволюция Горного Крыма // Бюлл. МОИП. Отд. геол. 2009. Т. 84. Вып. 3. С. 3–21.
6. Миасиро А. Метаморфизм и метаморфические пояса. М.: Мир, 1976. 536 с.
7. Муратов М.В. Геология Крымского полуострова. Руководство по учебной геологической практике в Крыму. Том II. М.: Недра, 1973. 192 с.
8. Площко В.В. Ассоциация пикритов и кварцевых диабазов Крыма // Докл. АН СССР. 1979. Т. 244. С. 442–445.
9. Попов С.П. Минералогия Крыма. М.: Изд-во АН СССР, 1938. 352 с.
10. Промыслов М.Ю., Дёмин А.Л., Бычков А.Ю., Гущин А.И., Царёв В.В. Природа магматизма района мыса Фиолент (Юго-Западный Крым) // Вестн. МГУ. Серия 4. Геология. 2014. № 6. С. 14–22.
11. Спиридовон Э.М. Метаморфические и метасоматические образования Горного Крыма // Геологическое строение Качинского поднятия Горного Крыма. Т. II. М.: Изд-во МГУ, 1989. С. 136–152.
12. Спиридовон Э.М., Фёдоров Т.О., Ряховский В.М. Магматические образования Горного Крыма. Статьи 1 и 2 // Бюлл. МОИП. Отд. геол. 1990. Т. 65. Вып. 4. С. 119–134. Вып. 6. С. 102–112.
13. Хайн В.Е. Тектоника континентов и океанов. М.: Научный мир, 2001. 606 с.
14. Юдин В.В., Гошовский С.В., Еременко Г.К. Геологическая интерпретация скважины Симферопольская-1. В кн.: Геодинамика, сейсмичность и нефтегазоносность Черноморско-Каспийского региона. Симферополь: ДОЛЯ. 2005. С. 87–98.
15. Hensen B.J., Green D.H. Experimental study of the stability of cordierite and garnet in pelitic compositions of high pressures and temperatures. III. Synthesis of experimental data and geological applications // Contrib. Mineral. Petrol. 1973. Vol. 38. P. 151–166.
16. Johnson S.E. Porphyroblast microstructures. A review of current and future trends // Amer. Mineral. 1999. Vol. 84. P. 1711–1726.
17. Kepezhinskaya K.B., Khlestov V.V. The petrogenetic grid and subfacies for middle temperature metapelites // J. Petrol. 1977. Vol. 18. P. 114–143.
18. Meijers M.J.M., Vrouwe B., van Hinsbergen D.J.J., Kuiper K.F., Wijbrans J., Davies G.R., Stephenson R.A., Kaymakci N., Matenco L.I.O., Saintot A. Jurassic arc volcanism on Crimea: implications for the paleo-subduction zone configuration of the Black Sea region // Lithos. 2010. Vol. 119. P. 412–426.
19. Philpotts A.R., Ague J.J. Principles of igneous and metamorphic petrology. Cambridge University Press, 2009. 667 p.
20. Strunz H., Nickel E.H. Strunz mineralogical tables. Stuttgart, 2001. 870 s.
21. Tracy R.J., Robinson P., Thompson A.B. Garnet composition and zoning in the determination of temperature and pressure of metamorphism: central Massachusetts // Amer. Mineral. 1976. Vol. 61. P. 762–775.
22. Wolf M.B., Wyllie P.J. Garnet growth during amphibolite anatexis: implications of a granatiferous restites // J. Geol. 1993. Vol. 101. P. 353–373.